

## CeO<sub>2</sub>안정화 정방정 Zirconia 다결정체(Ce-TZP)에 관한 연구(III) : Ce-TZP의 기계적성질 및 미세조직에 미치는 Al<sub>2</sub>O<sub>3</sub>첨가의 영향

김문일\* · 박정현 · 강대석\* · 문성환 · 안계원\*\*

\*연세대학교 금속공학과

연세대학교 요업공학과

\*\*한국 뉴세라믹스 연구소

(1989년 10월 5일 접수)

---

## A Study on the Ceria Stabilized Tetragonal Zirconia Polycrystals(Ce-TZP) (III) : Effect of Al<sub>2</sub>O<sub>3</sub> Addition on the Mechanical Properties and Microstructures of Ce-TZP

M.I. Kim\*, J.H. Park, D.S. Kang\*, S.W. Moon and K.W. Ahn\*\*

\*Dept. of Metallurgical Engineering, Yon Sei University

Dept. of Ceramic Engineering, Yon Sei University

\*\*Korea New Ceramics Tech. Lab.

(Received October 5, 1989)

### 요약

Al<sub>2</sub>O<sub>3</sub>의 첨가가 Ce-TZP의 기계적 성질 및 미세구조에 미치는 영향을 연구하였다.

12, 14, 16 Ce-TZP에 Al<sub>2</sub>O<sub>3</sub>를 각각 0, 5, 10, 20, 30, 40 wt% 첨가하여 1550°C에서 2시간 공기중에서 소결하였다. 각 소결체의 밀도, 수축률, 꺾임강도, 응력유기 변태량, 경도 및 미세구조를 관찰하였다.

12, 14, 16 Ce-TZP 모두 30 wt%의 Al<sub>2</sub>O<sub>3</sub>를 첨가했을 때 꺾임강도가 최대로 나타났으며, 그 이상의 첨가시는 감소하였다. 파괴시 정방정상으로부터 단사정상으로의 응력유기변태량은 Al<sub>2</sub>O<sub>3</sub>의 함량이 증가함에 따라 선형적으로 감소하였으며, 이에 따라 파괴인성 또한 감소하였다. 경도는 모든 조성의 Ce-TZP에서 Al<sub>2</sub>O<sub>3</sub>의 함량이 증가함에 따라 선형적으로 증가하였다. 모든 조성의 Ce-TZP에서 Al<sub>2</sub>O<sub>3</sub>는 TZP의 입성을 억제했으며, 선수축률 및 상대밀도는 Al<sub>2</sub>O<sub>3</sub>의 첨가량이 증가함에 따라 감소하였다.

### ABSTRACT

Effect of Al<sub>2</sub>O<sub>3</sub> addition on the mechanical properties and microstructure of Ce-TZP were studied.

12, 14, 16 Ce-TZP containing 0-40 wt% Al<sub>2</sub>O<sub>3</sub> were prepared by sintering at 1550°C for 2 h. in air. Density, linear shrinkage, bending strength, Vickers hardness, microstructure and the amount of stress induced phase transformation were examined.

Vickers hardness increased linearly with increasing amounts of Al<sub>2</sub>O<sub>3</sub>. The amount of transformation and fracture toughness decreased linearly with increasing amount of Al<sub>2</sub>O<sub>3</sub>. Linear shrinkage and relative density

decreased with increasing  $\text{Al}_2\text{O}_3$  content in all composition of Ce-TZP. Grain growth of Ce-TZP was inhibited by  $\text{Al}_2\text{O}_3$  dispersion and fracture mode of Ce-TZP/ $\text{Al}_2\text{O}_3$  composites transformed from intergranular to transgranular fracture as the amount of  $\text{Al}_2\text{O}_3$  increased. TEM observation revealed that  $\text{Al}_2\text{O}_3$  particles were located mainly at grain boundaries of  $\text{ZrO}_2$ .

## 1. 서 론

Gupta 등<sup>1)</sup>이 결정립의 미세화로  $\text{ZrO}_2\text{-Y}_2\text{O}_3$ 계의 정방정지르코니아(Y-TZP)의 안정화에 성공한 이후로 이와 관련해 많은 연구가 진행되었다. Y-TZP는 적정 조성(2~3 mol%  $\text{Y}_2\text{O}_3$ )에서 1000 MPa 이상의 꺾임강도값과 10 MPbam<sup>1/2</sup> 이상의 파괴인성값을 가지는 등의 우수한 기계적 성질을 나타낸다<sup>2,3)</sup>. 그러나 Y-TZP는 200°C 균온의 저온에서의 속성(annealing)에 의해, 특히 수분의 존재 하에서 정방정성이 단사정상으로 표면으로부터 변태하기 시작하여 심각한 강도저하를 가져오는 등의 문제점이 있다<sup>4)</sup>. 최근  $\text{CeO}_2$  안정화 지르코니아(Ce-TZP)에 대한 관심이 높아지고 있으며 12 Ce-TZP의 경우 파괴인성값이 15 MPbam<sup>1/2</sup>을 상회하며, 특히 저온에서의 속성에서도 열적 안정성이 매우 큰 것으로 보고되고 있다<sup>5,6)</sup>. 이와 같은 물성에도 불구하고 Ce-TZP는 Y-TZP에 비해 강도값이 비교적 낮게 나타나고 있다. 이에 2차상의 분산에 의한 강도증진의 목적으로 Ce-TZP/ $\text{Al}_2\text{O}_3$  복합체의 연구가 진행 중이며 Sato 등은 12 Ce-TZP에  $\text{Al}_2\text{O}_3$ 를 분산시켜 Ce-TZP 자체의 파괴인성값을 그다지 저하시키지 않고 강도값을 향상시킬 수 있음을 보고한 바 있다<sup>7)</sup>.

본 연구에서는 12, 14, 16 Ce-TZP 조성 각각에 상용  $\text{Al}_2\text{O}_3$  분말을 0, 5, 10, 20, 30, 40 wt% 첨가하여 이에 따른 소결성, 미세구조의 변화와 함께 각 조성의 Ce-TZP에서  $\text{Al}_2\text{O}_3$ 의 첨가량에 따른 응력유기변태량을 측정하여 이와 기계적 성질과의 상호 연관성을 고찰해 보고자 한다.

## 2. 실험 방법

### 2.1. 시편제조

본 연구에서 사용한  $\text{ZrO}_2$  분말,  $\text{CeO}_2$  분말 및  $\text{Al}_2\text{O}_3$  분말의 화학조성을 Table 1에 나타내었으며 자동입도분석기(Malvern Autosizer IIc, U.S.A)에 의해 분석한 결과  $\text{ZrO}_2$ 와  $\text{Al}_2\text{O}_3$ 의 평균 입경은 각각 0.114  $\mu\text{m}$  와 0.410  $\mu\text{m}$  이었다.  $\text{ZrO}_2$  분말에  $\text{CeO}_2$  분말을 각각 12, 14, 16 mol% 첨가한 후 다시 여기에  $\text{Al}_2\text{O}_3$  분말을 5, 10, 20, 30, 40

wt% 첨가하여 HCl로 pH를 1.5로 맞춘 중류수를 분산 매로 하여 고순도 alumina pot에서 12시간 동안 습식 혼합하였다. slurry 상태의 혼합분말을 분무건조기(Sakamoto Eng., Japan)로 분무건조하여 구형으로 군일하게 과립화시켰다. 이렇게 얻어진 과립분말을 100 kg/cm<sup>2</sup>의 압력으로 5×30×55 mm의 크기로 일축성형한 후 1700 kg/cm<sup>2</sup>의 압력으로 2분간 냉간 정수압성형(CIP)하였다. 성형체는 모두 super kanthal을 발열체로 사용한 전기로에서 승온속도 300°C로 하여 1550°C에서 2시간 공기중에서 상압소결한 후 냉각시켰다. 꺾임강도 측정용 시편은 소결체를 세라믹 전용 가공기(Amada, Model SG-52 FVC, Japan)로 연마한 후 3×4×36 mm의 크기로 절단하였다.

### 2.2. 밀도측정

소결시편의 밀도측정은 ASTM C 373-72에 준하여 함수법으로 하였으며 상대밀도는 부피비중과 이론밀도의 비로 하였다.

### 2.3. 선수축률의 측정

선수축률의 측정은 CIP 후의 성형체의 길이의 소성수축으로부터 구하였다.

### 2.4. 기계적 성질

#### 2.4.1. 꺾임강도의 측정

꺾임강도는 JIS-R 1610에 따라 4점 꺾임시험(inner/outer span 길이 : 10/30 mm) 방법으로 구하였으며 하중하

**Table 1.** Chemical Compositions of the UEP Zirconium Oxide, C-1064 Cerium Oxide and AES-11 Aluminium Oxide.

ZrO <sub>2</sub>	Component	ZrO <sub>2</sub>	SiO <sub>2</sub>	Fe <sub>2</sub> O <sub>3</sub>	TiO <sub>2</sub>	Na <sub>2</sub> O	CaO
	wt%	99.5	0.11	0.0034	0.16	0.031	0.091
CeO <sub>2</sub>	Component	CeO <sub>2</sub>	Al	Ca	Fe	Mg	—
	wt%	99.9	0.005	≤0.001	0.01	≤0.001	—
$\text{Al}_2\text{O}_3$	Component	$\text{Al}_2\text{O}_3$	SiO <sub>2</sub>	Fe <sub>2</sub> O <sub>3</sub>	MgO	Na <sub>2</sub> O	H <sub>2</sub> O
	wt%	99.8	0.04	0.01	0.1	0.03	0.2

장속도는 0.5 mm/min 으로 하였다.

#### 2.4.2. 상변태량의 측정

파단면에서의 응력유기 상변태량을 측정하기 위해서 꺾임강도 측정후의 시편의 파단면을 XRD로 분석하여 t(111)과 m(111), m(111) peak intensity 의 상대량으로부터 Garvie 와 Nicholson 식<sup>9)</sup>의 보정식인 Toraya 등의 다음 식<sup>9)</sup>으로 부터 계산하였다.

$$V_m = \frac{1.311 X_m}{1 + 0.311 X_m}$$

$$\text{여기서 } X_m = \frac{I_m(111) + I_m(11\bar{1})}{I_t(111) + I_m(111) + I_m(11\bar{1})}$$

#### 2.4.3. 경도의 측정

경도는 Microvickers 경도시험기(Matsuzawa, DVK-2 S)를 사용하여 20 kg의 하중으로 압입하여 구하였으며 압자하강속도를 100 μm/sec 로 하여 10초간 유지하였다.

#### 2.4.4. 파괴인성의 측정

파괴인성의 측정은 Microvickers 경도시험기로 경도측정시와 같은 조건으로 하여 압입한 후 (dihedral angle=136°) Marion 이 제안한 다음식으로 계산하였다<sup>10)</sup>.

$$K_c = \frac{1}{\pi^{3/2} \cdot \tan \psi} \cdot \frac{P}{C^{3/2}}$$

여기서, K<sub>c</sub> : fracture toughness

ψ : half dihedral angle

P : indentation load

C : controlled crack length

#### 2.4.5. 미세구조

소결체의 입자크기 및 ZrO<sub>2</sub> 기지 내에서의 Al<sub>2</sub>O<sub>3</sub>의 분산위치 등은 소결체의 파단면으로 부터 SEM(Jeol, JSM-840 A)을 사용하여 2차전자영상(secondary electron image)과 후방산란전자영상(back scattered electron image)으로 관찰하였다. 내부결정형태는 투과전자현미경(Jeol, Model 4000 FX)을 사용하여 관찰하였다.

### 3. 결과 및 고찰

#### 3.1. 선수축률 및 밀도변화

각 성형체를 1550°C, 2시간 공기중에서 소결한 소결체의 상대밀도의 변화 및 선수축률의 변화를 각각 Fig 1과 Fig. 2에 나타내었다. 12, 14, 16 Ce-TZP 모두 Al<sub>2</sub>O<sub>3</sub>의

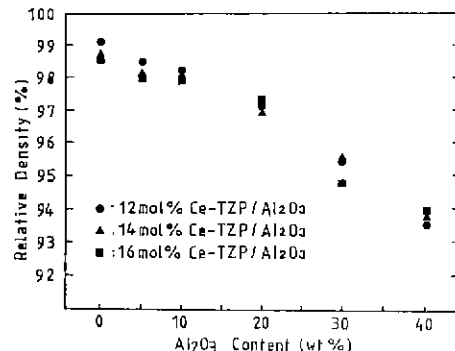


Fig.1. Density variation of Ce-TZP/Al<sub>2</sub>O<sub>3</sub> composites as a function of Al<sub>2</sub>O<sub>3</sub> content.

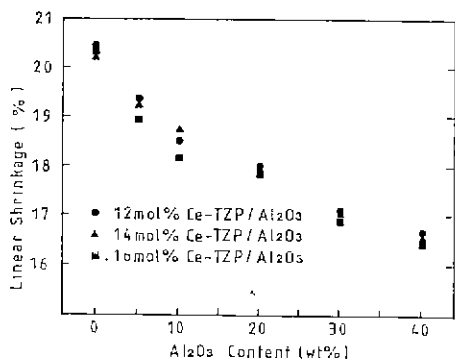
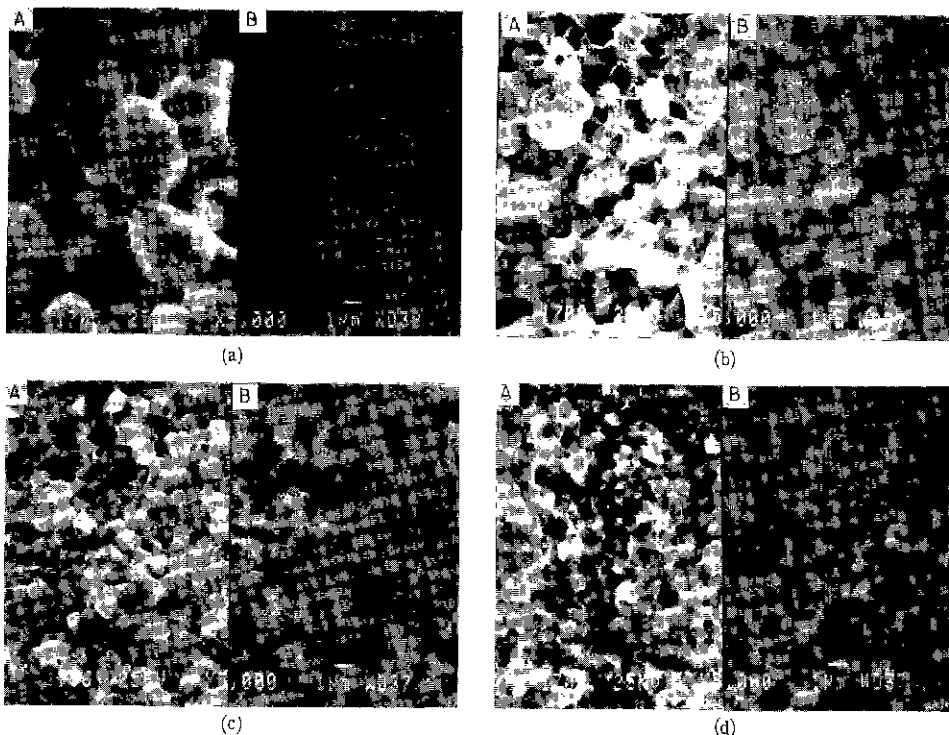


Fig.2. Linear shrinkage variation of Ce-TZP/Al<sub>2</sub>O<sub>3</sub> composites as a function of Al<sub>2</sub>O<sub>3</sub> content.

첨가량이 증가함에 따라 선수축률이 감소하고 있다. 상대밀도 또한 모든 조성의 Ce-TZP에서 Al<sub>2</sub>O<sub>3</sub>의 침가에 의해 저하하고 있다.

#### 3.2. 미세구조

1550°C에서 2시간 소결한 12 Ce-TZP 와 12 Ce-TZP/Al<sub>2</sub>O<sub>3</sub> 복합체의 파단면을 2차전자영상과 후방산란전자영상으로 관찰한 전자현미경 사진을 Fig 3에 나타내었다. 후방산란전자 영상에서 비교적 흰 부분이 ZrO<sub>2</sub>결정이며 검게 나타난 부분이 Al<sub>2</sub>O<sub>3</sub>결정이다. 12 Ce-TZP 단체의 경우 약 3 μm 평균입자 크기를 보이고 있으며, Al<sub>2</sub>O<sub>3</sub>의 분산량이 증가함에 따라 ZrO<sub>2</sub>결정의 크기는 거의 선형적으로 감소함을 알 수 있으며 12 Ce-TZP/40 Al<sub>2</sub>O<sub>3</sub>의 경우 평균입자 크기는 약 0.7 μm 이었다. Zener<sup>11)</sup>는 소결체의 한계입자 크기에 대하여 다음식을 제안하였으며 Al<sub>2</sub>O<sub>3</sub>의 분산에 의한 Ce-TZP 결정립 크기의 감소는 Zener 효과가 주된 작용을 했을 것으로 생각된다.



**Fig. 3.** SEM photographs of fracture surfaces ; (a) 12 Ce-TZP, (b) 12 Ce-TZP/5 Al<sub>2</sub>O<sub>3</sub>, (c) 12 Ce-TZP/20 Al<sub>2</sub>O<sub>3</sub>, (d) 12 Ce-TZP/40 Al<sub>2</sub>O<sub>3</sub>

A : Secondary electron image   B : Backscattered electron image

$$G_L = K \cdot r/f$$

여기서,  $G_L$    입자의 한계크기

$r$    : 분산된 구형입자의 반경

$f$    : 분산된 입자의 부피분율

$K$    : 초기입자크기 및 토상과 제 2 상의 계면에너지에 의존하는 상수

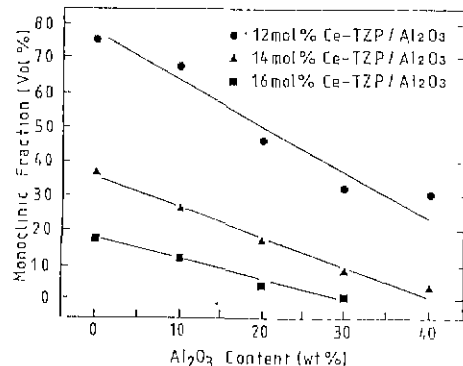
또한 사진으로부터 Al<sub>2</sub>O<sub>3</sub>는 대부분 ZrO<sub>2</sub> 결정입자에 존재함을 알 수 있다. 파괴형태는 12Ce-TZP 단미의 경우 대부분 입자파괴를 하고 있으나 Al<sub>2</sub>O<sub>3</sub>의 분산량이 증가함에 따라 입내파괴 양상이 커짐을 알 수 있다. 이는 Fig. 4에서와 같이 Al<sub>2</sub>O<sub>3</sub>의 분산량의 증가에 따라 파괴시의 응력유기변태량이 감소하여, 상변태량이 감소할수록 입자에 미세균열이 생성될 확률이 감소하게 되고, 따라서 Al<sub>2</sub>O<sub>3</sub>의 분산량의 증가할수록 ZrO<sub>2</sub>에서 입내파괴가 우세해지는 것으로 설명될 수 있다.

Fig. 5에 12 Ce-TZP/10 Al<sub>2</sub>O<sub>3</sub> 복합체의 TEM 사진과 EDS 분석결과를 나타내었다. 사진에서 흰 부분(1, 2, 3

지점)이 Al<sub>2</sub>O<sub>3</sub> 결정이며, 검은 부분(4 지점)이 ZrO<sub>2</sub> 결정이다. 1지점과 4지점의 상을 EDS로 확인하였으나 Al<sub>2</sub>O<sub>3</sub>는 대부분 ZrO<sub>2</sub>의 입자에 존재함을 알 수 있다.

### 3.3. 응력유기 상변태

Fig. 4에 각 Ce-TZP 와 12 Ce-TZP/Al<sub>2</sub>O<sub>3</sub> 복합체의 꺾



**Fig. 4.** Monoclinic fraction on the fracture surfaces of Ce-TZP and Ce-TZP/Al<sub>2</sub>O<sub>3</sub> composites.

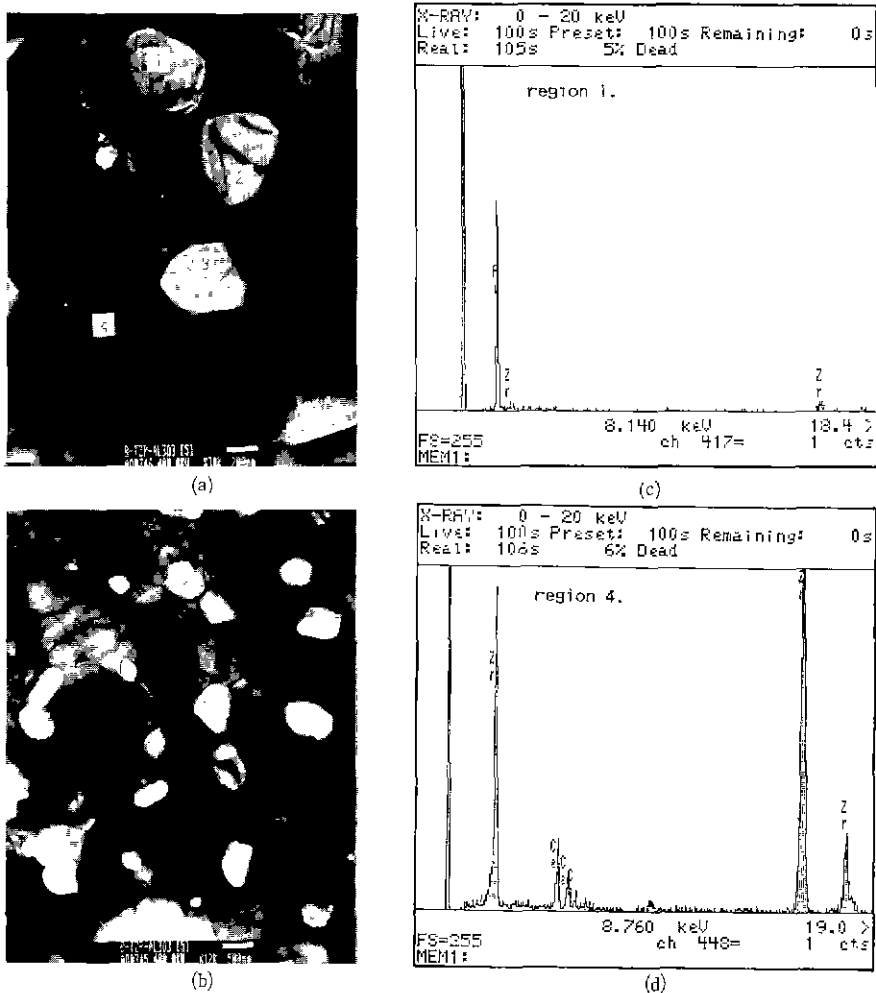


Fig.5. Transmission electron micrograph and EDS spectrum of 12 Ce-TZP/10 Al<sub>2</sub>O<sub>3</sub> composite ; (a), (b) TEM image, (c) EDS spectrum from region (1), (d) EDS spectrum from region (4).

임강도 시험후의 파단면을 XRD로 분석한 결과를 나타내었다. 모든 조성의 TZP에서 Al<sub>2</sub>O<sub>3</sub>의 함량 증가에 따라 용력유기상변태의 양이 선형적으로 감소하고 있음을 알 수 있다. 이는 Fig.3의 전자현미경 사진으로 부터 알 수 있는 바와 같이 ZrO<sub>2</sub>의 결정립 크기는 Al<sub>2</sub>O<sub>3</sub>의 함량이 증가할수록 감소하며, 결정립 크기효과에 의해 ZrO<sub>2</sub>의 결정립 크기가 감소할 수록 정방정상의 안정성이 증대하기 때문으로 판단된다.

### 3.4. 꺾임강도

각 조성의 Ce-TZP 와 12 Ce-TZP/Al<sub>2</sub>O<sub>3</sub> 복합체의 꺾임강도값을 Fig.6에 나타내었다. 모든 조성의 Ce-TZP에서 강도값은 Al<sub>2</sub>O<sub>3</sub>의 분산량이 증가할 수록 증가하여

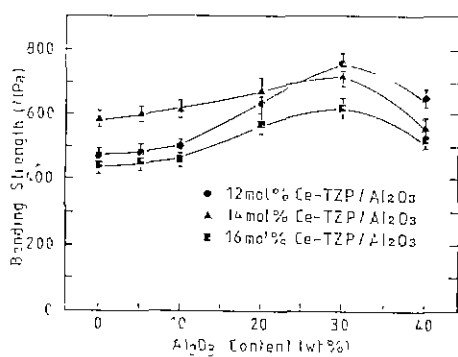


Fig.6. Fracture strength of Ce-TZP and Ce-TZP/Al<sub>2</sub>O<sub>3</sub> composites.

30 wt%  $\text{Al}_2\text{O}_3$  조성에서 최대값을 나타내며 그 이상에서는 감소하는 경향을 보이고 있다.  $\text{Al}_2\text{O}_3$ 의 함량이 증가함에 따라 꺾임강도값이 증가하는 것은 Fig. 3에 나타난 바와 같이  $\text{Al}_2\text{O}_3$ 에 의한  $\text{ZrO}_2$  입자크기의 감소효과는 물론 탄성이 큰  $\text{Al}_2\text{O}_3$ 의 분산에 의한 기지강화의 영향으로 판단되며 30 wt% 이상의  $\text{Al}_2\text{O}_3$ 를 첨가시는 상대밀도의 감소에 의해 강도값이 감소하는 것으로 생각된다.

### 3.5. 경 도

Fig. 7에 각 소결체의 Vickers 경도를 첨가된  $\text{Al}_2\text{O}_3$ 의 함량에 따라 나타내었다. 모든 조성의 Ce-TZP에서  $\text{Al}_2\text{O}_3$ 의 함량이 증가함에 따라 경도값이 선형적으로 증가함을 알 수 있다. 이는  $\text{Al}_2\text{O}_3$ 의 함량이 증가함에 따른 응력유기변태량의 감소에 따른 소성변형량의 감소와 함께, Ce-TZP에 비해 탄성이 큰  $\text{Al}_2\text{O}_3$ 의 분산에 의한 가성성(rule of mixture)에 기인한 것으로 판단된다.

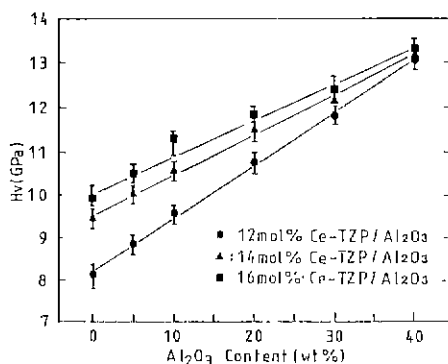


Fig. 7. Vickers microhardness of Ce-TZP/ $\text{Al}_2\text{O}_3$  composites as a function of  $\text{Al}_2\text{O}_3$  content.

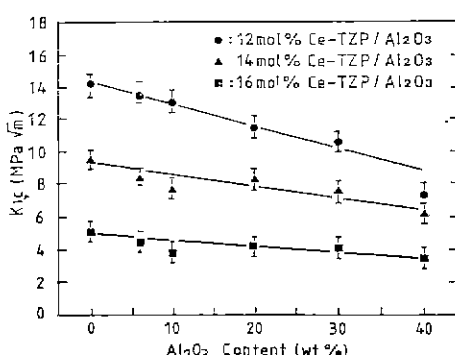


Fig. 8. Fracture toughness of Ce-TZP and Ce-TZP/ $\text{Al}_2\text{O}_3$  composites.

### 3.6. 파괴인성

Fig. 8에 각 소결체의 파괴인성값을 첨가된  $\text{Al}_2\text{O}_3$ 의 함량에 따라 나타내었다. 모든 조성의 Ce-TZP에서  $\text{Al}_2\text{O}_3$ 의 함량이 증가함에 따라 파괴인성이 선형적으로 감소하고 있다. 이는  $\text{Al}_2\text{O}_3$ 의 함량이 증가함에 따른 응력유기변태량의 감소에 기인한 것으로 판단된다.

## 4. 결 론

$\text{Al}_2\text{O}_3$ 의 첨가가 Ce-TZP의 기계적 성질 및 미세구조에 미치는 영향을 연구한 결과 본 연구범위에서 다음과 같은 결론을 얻었다.

- 1) 12, 14, 16 Ce-TZP의 상대밀도는  $\text{Al}_2\text{O}_3$ 의 첨가량이 증가함에 따라 감소한다.
- 2) 파괴에 의한 응력유기변태량은 모든 조성의 Ce-TZP에서  $\text{Al}_2\text{O}_3$ 의 첨가량이 증가함에 따라 감소하며 파괴인성치는 응력유기변태에 의해 생성된 단사정량에 의존하므로  $\text{Al}_2\text{O}_3$ 의 분산에 의해 Ce-TZP의 파괴인성은 감소한다
- 3)  $\text{Al}_2\text{O}_3$ 의 첨가량이 증가함에 따라 Ce-TZP의 입자성장이 억제되어 꺾임강도가 증가하게 되며 30 wt%의  $\text{Al}_2\text{O}_3$ 를 첨가할 경우 모든 조성의 Ce-TZP에서 최대의 강도값을 나타내었다.
- 4) 12 Ce-TZP의 파괴형태가 대부분 입자파괴 것에 비해  $\text{Al}_2\text{O}_3$ 의 첨가량이 증가함에 따라 12 Ce-TZP/ $\text{Al}_2\text{O}_3$  복합체의 파괴형태는 입내파괴 양상이 커지며, 투과 전자현미경 관찰 결과  $\text{Al}_2\text{O}_3$ 는 대부분  $\text{ZrO}_2$ 의 입자에 분포하였다.

## REFERENCES

1. T. K. Gupta, F. F. Lange and J. H. Bechtold, "Effect of Stress Induced Phase Transformation on the Properties of Polycrystalline Zirconia Containing Metastable Tetragonal Phase", *J. Mater. Sci.*, 13, 1464-1470 (1978).
2. T. Masaki, "Mechanical Properties of Toughened  $\text{ZrO}_2\text{-Y}_2\text{O}_3$  Ceramics", *J. Am. Ceram. Soc.*, 69 (8) 638-640 (1986).
3. K. Tsukuma, T. Takahata and M. Shiomi, "Strength and Fracture Toughness of Y-TZP, Ce-TZP, Y-TZP/ $\text{Al}_2\text{O}_3$ , and Ce-TZP/ $\text{Al}_2\text{O}_3$ ", pp.

- 721-728 in *Advances in Ceramics*, Vol. 24 edited by S. Somiya, N. Yamamoto and H. Hanagida, the American Ceramic Society, Westerville, OH, (1988).
4. M. Matsui, T. Soma and I. Oda, "Stress-Induced Transformation and Plastic Deformation for Y<sub>2</sub>O<sub>3</sub>-Containing Tetragonal Zirconia Polycrystals", *J. Am. Ceram. Soc.*, **69** (3) 198-202 (1986).
  5. R.L.K. Matsumoto, "Aging Behavior of Ceria-Stabilized Tetragonal Zirconia Polycrystals", *ibid.*, **71** (3) C-128-C 129 (1988).
  6. T. Sato and M. Shimada, "Transformation of Ceria-Doped Tetragonal Zirconia Polycrystals by Annealing in Water", *Am. Ceram. Soc. Bull.*, **64** (10) 1382-1384 (1985).
  7. T. Sato, Endo and M. Shimada, "Postsintering Hot Isostatic Pressing of Ceria-Doped Tetragonal Zirconia/Alumina Composites in an Argon-Oxygen Gas Atmosphere", *J. Am. Ceram.* *Soc.*, **72** (5) 761-764 (1989).
  8. R.C. Garvie and P.S. Nicholson, "Phase Analysis in Zirconia System", *ibid.*, **67** (6) 303-305 (1972).
  9. H. Toraya, M. Yoshimura and S. Somiya, "Calibration Curve for Quantitative Analysis of the Monoclinic-Tetragonal ZrO<sub>2</sub> System by X-ray Diffraction", *ibid.*, **67** (6) C-119-C-121 (1984).
  10. R.H. Marion, "Use of Indentation Fracture to Determine Fracture Toughness", *Fracture Mechanics Applied to Brittle Materials*, pp. 103-111, ASTM SPT 678 (1970).
  11. C Zener ; Reported by J.E. Burke, "Some Factors Affecting the Rate of Grain Growth in Metals[70 . 30 Brsaa]", *Trans. AIME*, **180**, 73-91 (1949).
  12. R.C. Garvie, "The Occurrence of Metastable Tetragonal Zirconia as a Crystallite Size Effect", *J. Phys. Chem.*, **69** (4) 1238-1243 (1965).